

## 半無限弾性板内の Superseismic Wave の伝播について

京都大学工学部 正員 丹羽 義次

" " 佐藤 誠

京都大学大学院 学生員 久保 晋

## 緒 言

筆者らは先に41年度関西支部講演会において、縦衝撃を受ける摩擦抗の動的挙動について発表した。その際、抗内の応力伝播によつて地盤内に衝撃波即ち superseismic wave が発生することを示した。しかしそこではこれについて詳しい研究を行なわなかつたので、ここではこの問題を取上げ、半無限弾性板内で伝播する superseismic wave について基礎的研究を行なつた。特に板内の主応力方向の変化および板内の円孔周辺部の応力集中に注目して発明した。

## Superseismic Wave

図-1に示すように半無限弾性板の自由邊に移動荷重が作用する場合に、 $M_L > 1$ ,  $M_T > 1$  であれば superseismic wave が発生する。ただし  $M_L = C/C_L$ ,  $M_T = C/C_T$ ,  $C_L^2 = E/(1-\nu^2)$ ,  $C_T^2 = G/\nu$

この場合、板内の応力成分は次式で与えられる。

$$\begin{aligned}\sigma_x &= \frac{1}{(2-M_T^2)+4K_0C_T} \left\{ (2-M_T^2)(2-M_T^2+2)P(x-K_T y) - 2K_T Q(x-K_T y) \right\} \\ &\quad + 2K_T \left\{ 2K_T P(x-K_T y) + (2-M_T^2)Q(x-K_T y) \right\}, \\ \sigma_y &= \frac{-1}{(2-M_T^2)+4K_0C_T} \left\{ (2-M_T^2)(2-M_T^2)P(x-K_T y) - 2K_T Q(x-K_T y) \right\} + 2K_T \left\{ 2K_T P(x-K_T y) + (2-M_T^2)Q(x-K_T y) \right\}, \\ \tau_{xy} &= \frac{-1}{(2-M_T^2)+4K_0C_T} \left[ 2K_T \left\{ (2-M_T^2)P(x-K_T y) - 2K_T Q(x-K_T y) \right\} - (2-M_T^2) \left\{ 2K_T P(x-K_T y) + (2-M_T^2)Q(x-K_T y) \right\} \right].\end{aligned}\quad \text{---(1)}$$

$$\text{ここで, } M_L = (1+\nu_L^2)^{1/2}, M_T = (1+\nu_T^2)^{1/2}.$$

これから、縦波部分、横波部分における主応力方向をそれぞれ  $\theta_1$ ,  $\theta_2$  とすると、  
 $\tan 2\theta_1 = 2K_T/(1-K_T^2)$ ,  $\tan 2\theta_2 = (2-M_T^2)/2K_T$  である。また自由邊と縦波、横波かす角度を  $\alpha$ ,  $\beta$  とすると、 $\sin \alpha = C_L/C$ ,  $\sin \beta = G/C$  で与えられる。

## 実験方法

Superseismic Wave を発生させる実験として図-2に示すような模型を用いた。A端を弾速約120m/secのポンプ銃弾で衝撃した。ABの長さは測定時間内に測定卓に及ぶ影響が現われないよう十分長くした。 $G_1, G_2, G_3$  は直交型ロゼットゲージの三成分であり、主応力方向測定用である。 $G_4$  は板への入射バルスを測定するためのものである。

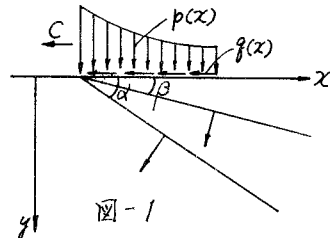
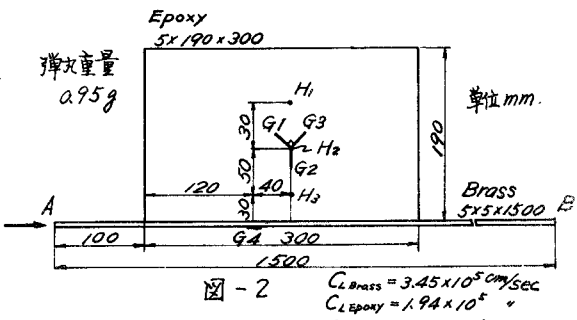


図-1


 $C_L \text{Brass} = 3.45 \times 10^5 \text{ cm/sec}$   
 $C_L \text{Epoxy} = 1.94 \times 10^5 \text{ "}$   
 $C_T \text{Epoxy} = 1.04 \times 10^5 \text{ "}$

また、 $H_1, H_2, H_3$  はそれぞれ  $\phi 4.8, \phi 7.5, \phi 4.8\text{mm}$  の円孔で、周辺の応力集中の方向から主応力方向の変化を求めた。なお、本実験においては摩擦抗等の場合と異なり、移動荷重の成分は  $g(x)$  が  $p(x)$  に比較して十分大きいと考えることができる。

実験結果および考察

写真-1

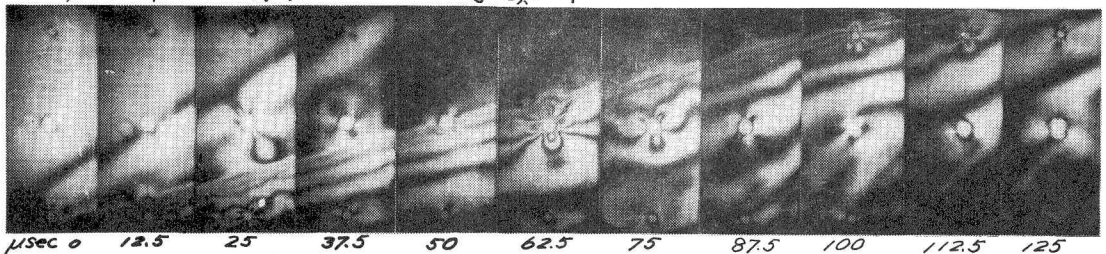


写真-1は測定附近の動光弾性写真的一例である。中央円孔  $H_2$  に注目すると、縦波 front の到達後約  $37.5\mu\text{sec}$  で横波の front が到達し、同時に主応力方向が急速に変化している。

図-3はロゼットゲージおよび  $G_4$  の歪変化を示したものである。 $G_4$  から入射パルスの波長は、主パルスが  $6\text{cm}$ 、全体としては  $24.2\text{cm}$  であることがわかる。この程度の波長であれば円孔による応力波の乱れは通過後約  $2\text{cm}$  で消失している。

図-4はロゼットゲージおよび円孔周辺の応力集中から求めた主応力方向の変化を示したものである。これによると縦波通過後約  $40\mu\text{sec}$  から横波による方向変化を示している。円孔  $H_1$  については横波の到達時刻の遅れだけ遅れて変化している。それまでの波の到達初期には主応力方向は理論値と一致しているが、いずれも次第に減少している。これは伝播につれて Epoxy の内部摩擦により角度  $\alpha, \beta$  が見掛け上減少していること、入射パルスの絶対値が減少しているためである。

なお、円孔の径および波長と応力集中あるいは応力波の乱れとの関係については当日詳述する。

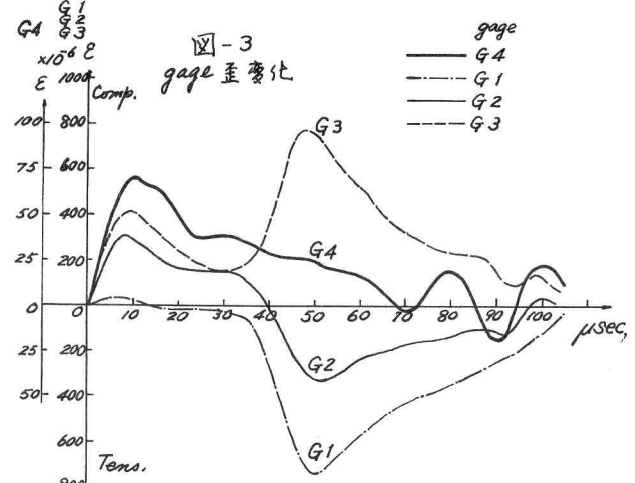


図-3 gage 異変化

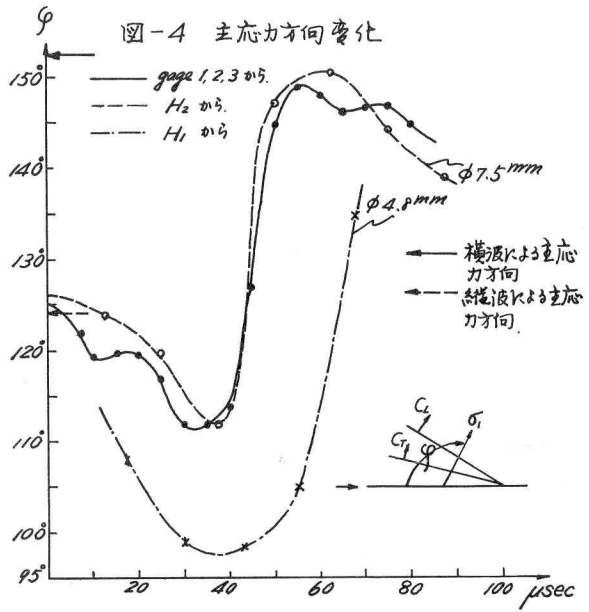


図-4 主応力方向変化